

京都大学防災研究所 正。足立紀尚
鉄道建設公団 正 高瀬昭雄

1.はじめに

大谷石を理想的堆積軟岩として用ひて一連の研究により、軟岩は他の地盤材料と同様に顕著な時間依存性挙動を示すことを明らかにした。例えば載荷速度を変えると強度が変り、標準試験による強度の何割、載荷保持時間とクリープ破壊を生ずるかは周知の事実といわれて解説すべき課題である。このような時間が強度に影響するとは云ふこと、軟岩に対する構造物の設計において長期強度を的確に把握する必要がある。本報告はクリープ試験による堆積軟岩の長期強度の推定方法を論じるものである。

2. クリープ試験

実験は飽和した大谷石を用い、所定の側圧で24時間等方圧密してから、軸差応力を一度に載荷する方法である。なお、以下示す結果は排水条件下で行なつたものである。図-1は側圧1kgf/cm²に対する偏差ひずみ-時間関係をクリープ応力差応力($\sigma_1 - \sigma_3$)をパラメーターとして示したものである。図から、クリープ応力の大小がクリープ变形挙動に影響を与え、10³分の時間内に限ると40kgf/cm²以上の軸差応力下では最終的にクリープ破壊に至り、また、クリープ破壊が生ずるまでの時間は応力の増大とともに減少することがわかる。この過程をクリープひずみ速度と時間の関係として両対数紙上に求めたものが図-2である。

3. 偏差ひずみ速度は時間とともに直線的に減少するが、破壊に至るものはやがて定常クリープ状態を経て加速され破壊に達する。クリープ破壊に至るまでの間の時間と破壊までの時間は直線的である(図-2)。図-2下に凸曲線の最小クリープ速度と破壊に至る時間との間に関係を示すのが知られており、防災工学という実験的仕事において少しもよしに定常クリープひずみ速度($\dot{\epsilon}_s$)と下に凸曲線の最小クリープ速度($\dot{\epsilon}_{cr}$)と破壊に至る時間との間に関係を示すことが知られており、

3. 大谷石に対する $\dot{\epsilon}_s$ とその関係を図-3に示すが、側圧の大小によらず $\dot{\epsilon}_s$ と $\dot{\epsilon}_{cr}$ には逆比例関係があつて、次式で表わされる。

$$\dot{\epsilon}_s \cdot t_r = \text{一定} = 1.32 \times 10^{-3} \quad (1)$$

これは図-2Kも明らかに定常クリープひずみ速度 $\dot{\epsilon}_s$ は応力状態によって異なる値をとる。図-4は定常クリープひずみ速度 $\dot{\epsilon}_s$ とクリープ応力($\sigma_1 - \sigma_3$)の関係を示すものである。図より、軸差応力($\sigma_1 - \sigma_3$)と偏差

ひずみ速度の対数が比例する。

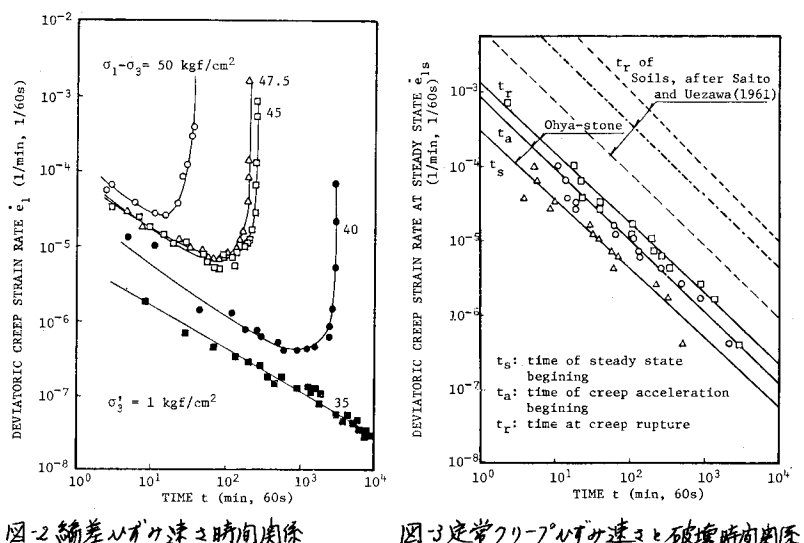
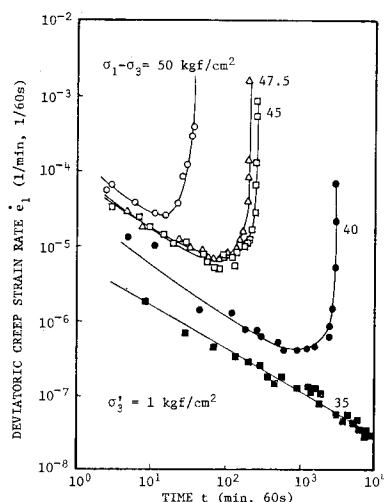


図-3 定常クリープひずみ速度と破壊時間関係

3という関係が求まり次式のように表わされる。

$$\log \dot{\epsilon}_{1,0} = A_1(\sigma_1 - \sigma_3) + B_1 \quad (2)$$

ここで A_1, B_1 は材料定数である。 B_1 は側圧 σ_3 増大とともに大きくなる。 (2) 式によく所定の側圧下クリープ応力に対応する定常クリープひずみ速度を求めることが可能である。

3. 軟岩の長期強度の推定方法

以上のクリープ試験結果に基づき軟岩の長期強度の推定方法について考察しよう。図-4に示すように定常クリープひずみ速度とクリープ応力($\sigma_1 - \sigma_3$)が半対数線上で直線関係。ここがわかるが、この関係は側圧に影響される。そこで等定常クリープひずみ速度に対応する応力状態が存在すると考え、 $\dot{\epsilon}_{1,0} = 10^{-6}$ (1/min) として応力状態を図-4から求め、平均有効応力 σ_m^1 と軸差応力($\sigma_1 - \sigma_3$)の関係として図-5に示す。その応力状態は次の式で表わされる。

$$(\sigma_1 - \sigma_3) = \alpha \cdot \sigma_m^1 \beta, \quad \alpha = 8.00, \quad \beta = 0.58 \quad (3)$$

図-6は定常クリープひずみ速度と式(3)より求まる標準化した応力状態 $(\sigma_1 - \sigma_3)/\alpha \cdot \sigma_m^1 \beta$ の関係を表わしたものである。多少ばらつきはあるが、直線関係が成立するもとすると次式が得られる。

$$\log \dot{\epsilon}_{1,0} = A_2(\sigma_1 - \sigma_3)/\alpha \cdot \sigma_m^1 \beta + B_2, \quad A_2 = 19.3, \quad B_2 = -27.3 \quad (4)$$

式(3)は軟岩の破壊規準として提唱してある関係であるから、式(4)により定常クリープひずみ速度を算出すれば、直線に相当する応力状態、すなわち強度が求まる。ところで定常クリープ速さ $\dot{\epsilon}_{1,0}$ とクリープ破壊時間 t_b の間に式(1)の関係がある。したがって式(1), (4)で $\dot{\epsilon}_{1,0}$ を消去するとクリープ破壊に至る時間 t_b に対する応力状態の関係が求まる。

$$\log(C/t_b) = A_2(\sigma_1 - \sigma_3)/\alpha \cdot \sigma_m^1 \beta + B_2 \quad (5)$$

式(5)の意味すこしは、例えば $t_b = 100$ 年とすると 100 年後クリープ破壊に至る応力状態 $(\sigma_1 - \sigma_3)/\alpha \cdot \sigma_m^1 \beta$ が計算され、しかも 100 年強度を推定できるという意味である。図-7, 図-8は式(5)を適用して推定した大谷石の時間に依存する強度の変化を示している。一方、図中の実線は残留強度を表している。

参考文献

- 1). 赤井, 他, 土木学会論文報告集, No. 292, 1979, pp. 75~87.
- 2). 香藤, 土と基礎, Vol. 20, No. 2, 1972, pp. 13~19.
- 3). 足立, 小川, 土木学会論文報告集, No. 295, 1980, pp. 51~63.

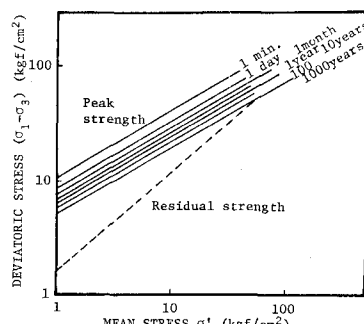


図-7. 軟岩の長期強度(面対数表示)

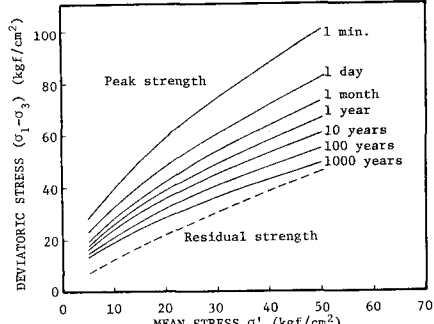


図-8. 軟岩の長期強度

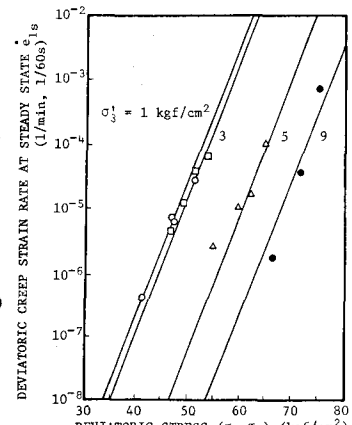


図-4. $\dot{\epsilon}_{1,0} \sim (\sigma_1 - \sigma_3)$ 関係

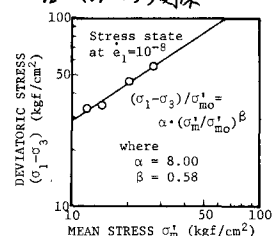


図-5. $\dot{\epsilon}_{1,0} = 10^{-6}$: 対する応力状態

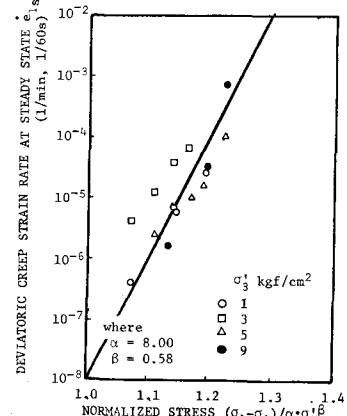


図-6. $\dot{\epsilon}_{1,0} \sim (\sigma_1 - \sigma_3) / \alpha \cdot \sigma_m^1 \beta$ 関係